

Fig. 1

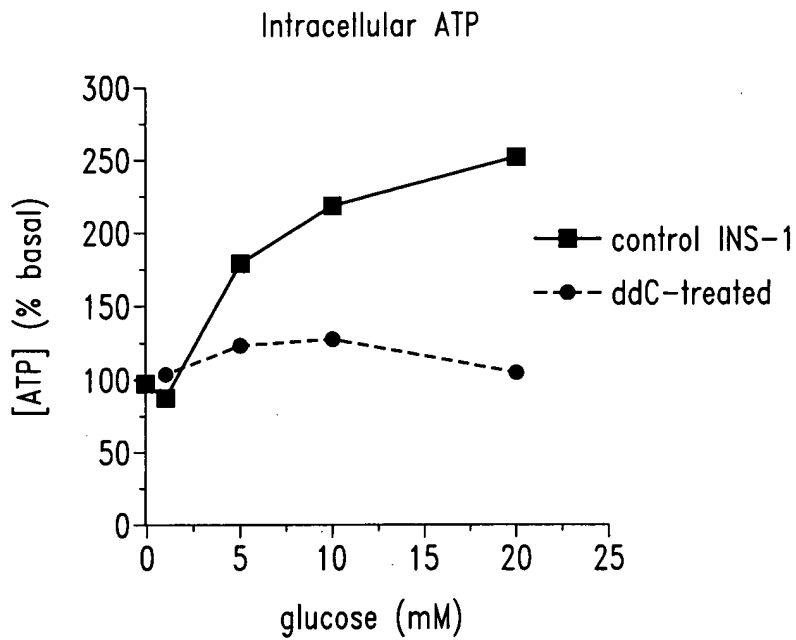


Fig. 2A

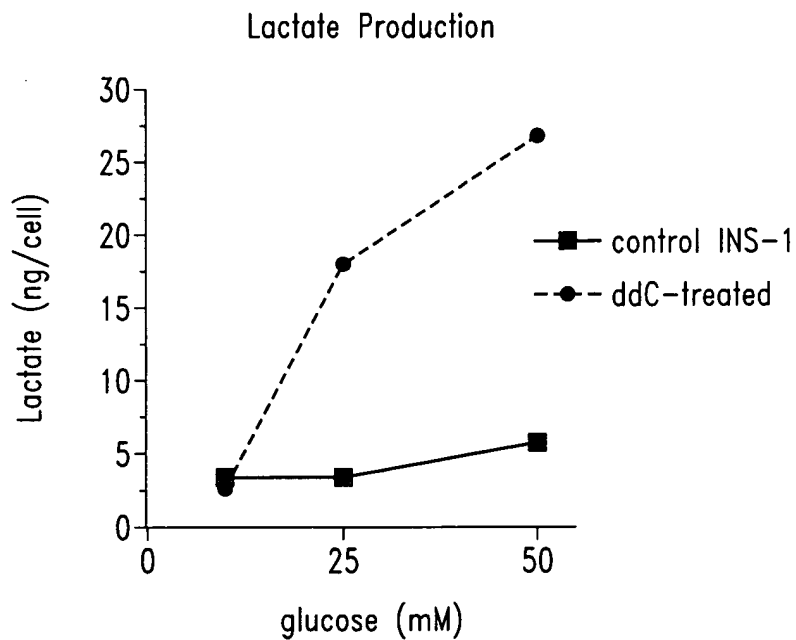


Fig. 2B

20220728

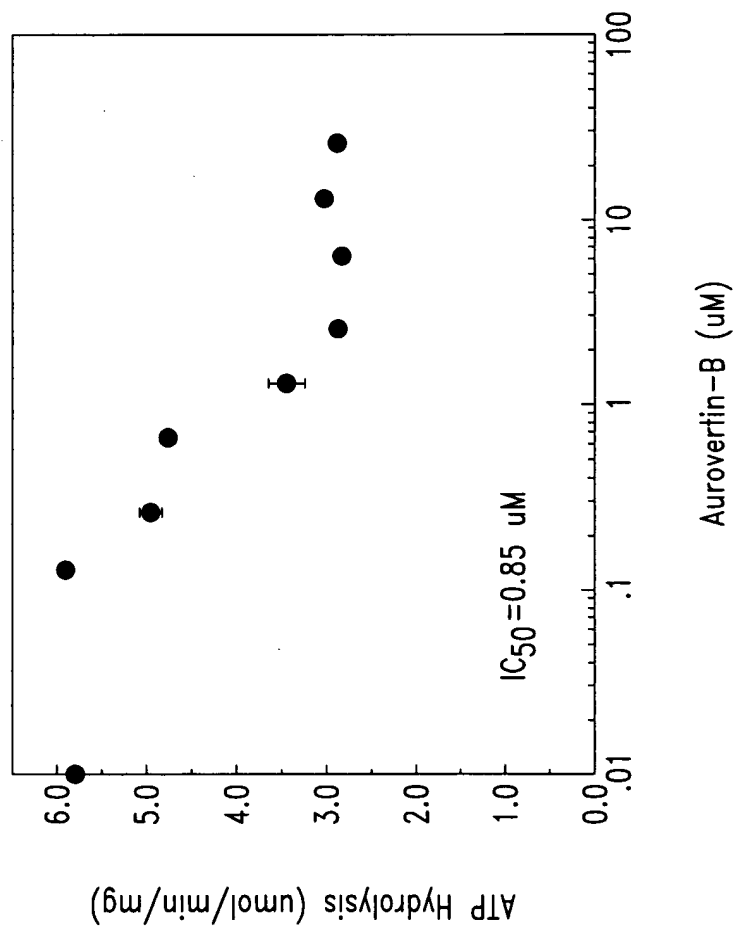


Fig. 3

20220757828001

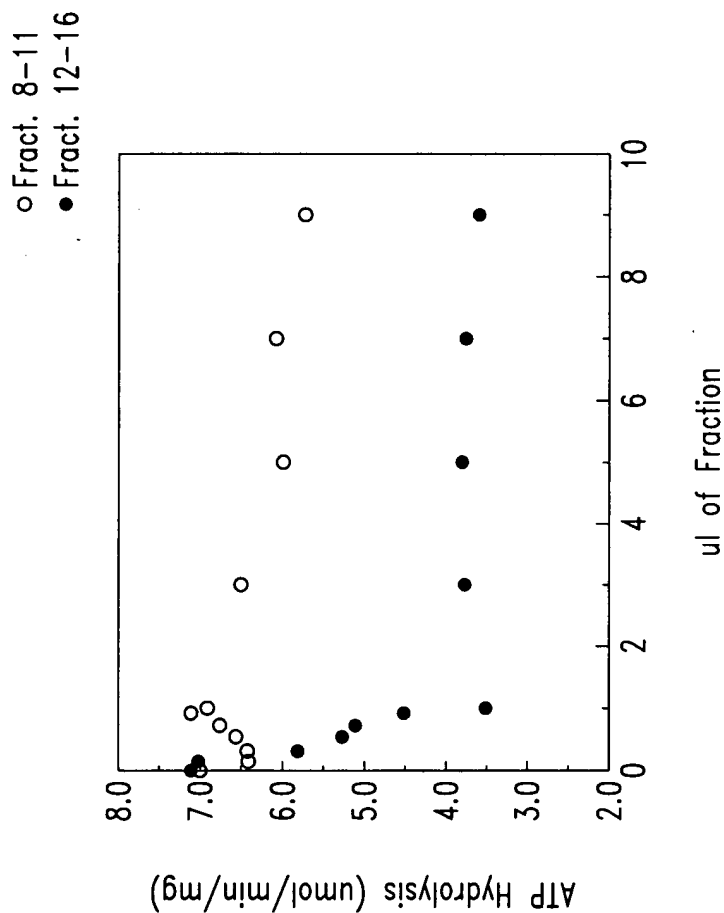


Fig. 4

GSDSSESMDSGAGSIREAGGAFGKREKAEEDRYFE

KTREQLAALKKHHEDEIDHHSKEIERLQKQIERKKI

KYLNSEH

	F ₁	F ₀ -F ₁ -SMP
IF ₁ (22-46)	1.39 μ M	N.E.
IF ₁ (42-58)	0.87 μ M	0.18 μ M

Fig. 5

10083815.032702
20220915 15:03:27

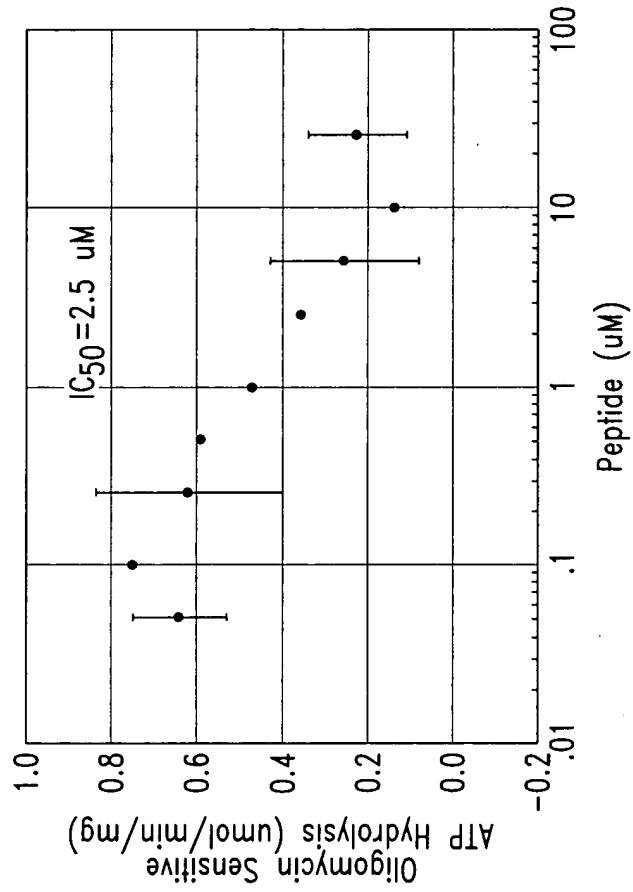


Fig. 6

204220" STEEBOE

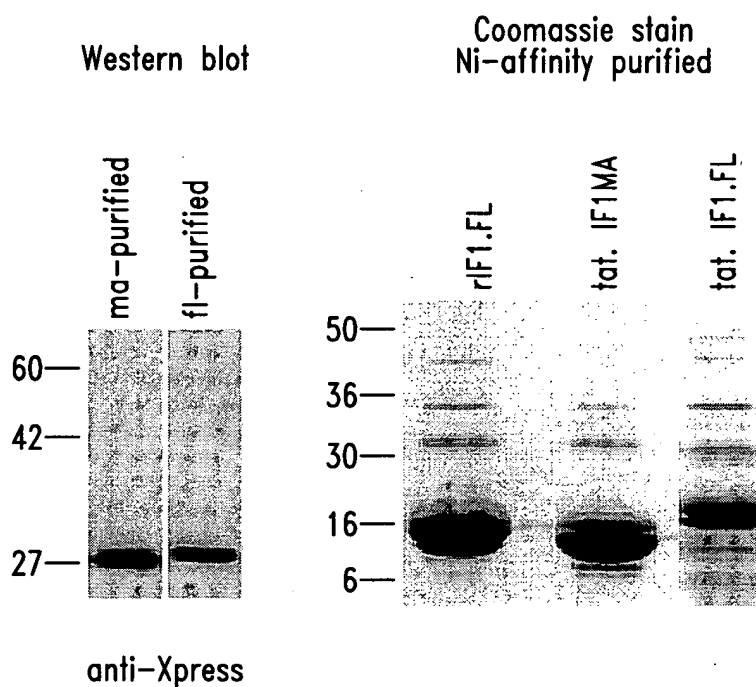


Fig. 7

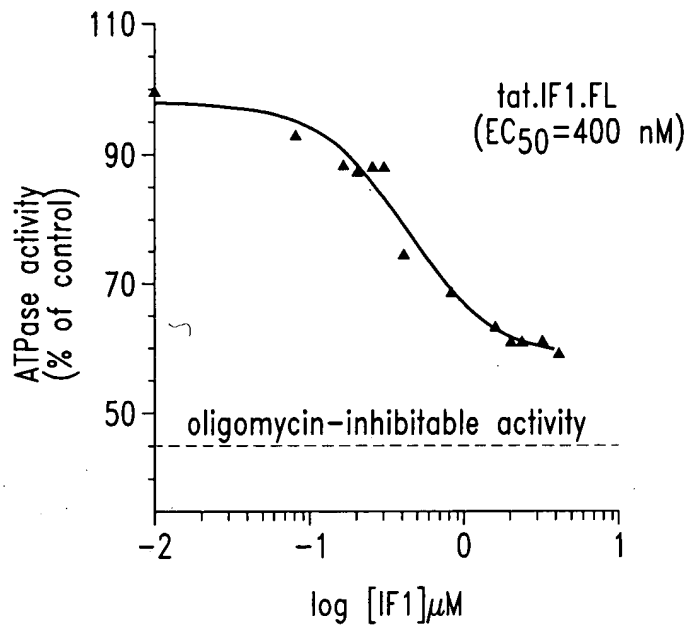


Fig. 8

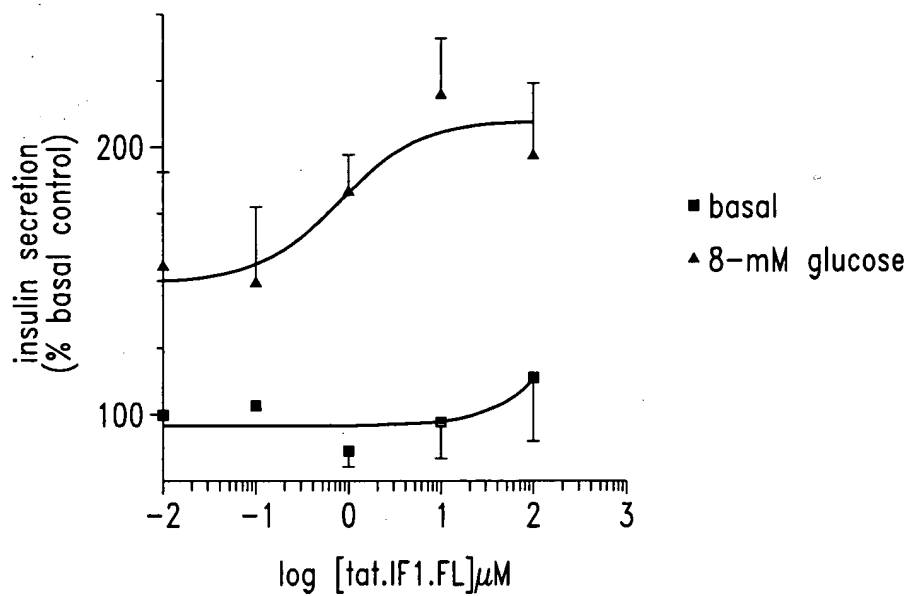


Fig. 9

IF1 fragments Sequence	AA Residue Nos. (mature form)	length	Est mw	SEQ ID NO:
SIREAGGAFGKREKAEEDRYFREKTREQLAALKK	14-47	34	3876	29
SIREAGGAFGKREKAEEDRY	14-33	20	2200	30
IREAGGAFGKREKAEEDRYF	15-34	20	2200	31
REAGGAFGKREKAEEDRYFR	16-35	20	2200	32
EAGGAFGKREKAEEDRYFRE	17-36	20	2200	33
AGGAFGKREKAEEDRYFREK	18-37	20	2200	34
GGAFGKREKAEEDRYFREKT	19-38	20	2200	35
GAFGKREKAEEDRYFREKTR	20-39	20	2200	36
AFGKREKAEEDRYFREKTRE	21-40	20	2200	37
FGKREKAEEDRYFREKTREQ	22-41	20	2200	38
GKREKAEEDRYFREKTREQL	23-42	20	2200	39
KREKAEEDRYFREKTREQLA	24-43	20	2200	40
REKAEEDRYFREKTREQLAA	25-44	20	2200	41
EKAEEDRYFREKTREQLAAL	26-45	20	2200	42
KAEEDRYFREKTREQLAALK	27-46	20	2200	43
AEDRYFREKTREQLAALKK	28-47	20	2200	44
SIREAGGAFGK	14-24	11	1210	45
SIREAGGAFGKR	14-25	12	1320	46
SIREAGGAFGKRE	14-26	13	1430	47
SIREAGGAFGKREK	14-27	14	1540	48
SIREAGGAFGKREKA	14-28	15	1650	49
SIREAGGAFGKREKAE	14-29	16	1760	50
SIREAGGAFGKREKAE	14-30	17	1870	51
SIREAGGAFGKREKAEED	14-31	18	1980	52
SIREAGGAFGKREKAEEDR	14-32	19	2090	53
SIREAGGAFGKREKAEEDRY	14-33	20	2200	54
SIREAGGAFGKREKAEEDRYF	14-34	21	2310	55
SIREAGGAFGKREKAEEDRYFR	14-35	22	2420	56
SIREAGGAFGKREKAEEDRYFRE	14-36	23	2530	57
SIREAGGAFGKREKAEEDRYFREK	14-37	24	2640	58
SIREAGGAFGKREKAEEDRYFREKT	14-38	25	2750	59
SIREAGGAFGKREKAEEDRYFREKTR	14-39	26	2860	60
SIREAGGAFGKREKAEEDRYFREKTRE	14-40	27	2970	61
SIREAGGAFGKREKAEEDRYFREKTREQ	14-41	28	3080	62
SIREAGGAFGKREKAEEDRYFREKTREQL	14-42	29	3190	63
SIREAGGAFGKREKAEEDRYFREKTREQLA	14-43	30	3300	64
SIREAGGAFGKREKAEEDRYFREKTREQLAA	14-44	31	3410	65
SIREAGGAFGKREKAEEDRYFREKTREQLAAL	14-45	32	3520	66
SIREAGGAFGKREKAEEDRYFREKTREQLAALK	14-46	33	3630	67

Fig. 10

202220 " ST82800T

20220715 100835

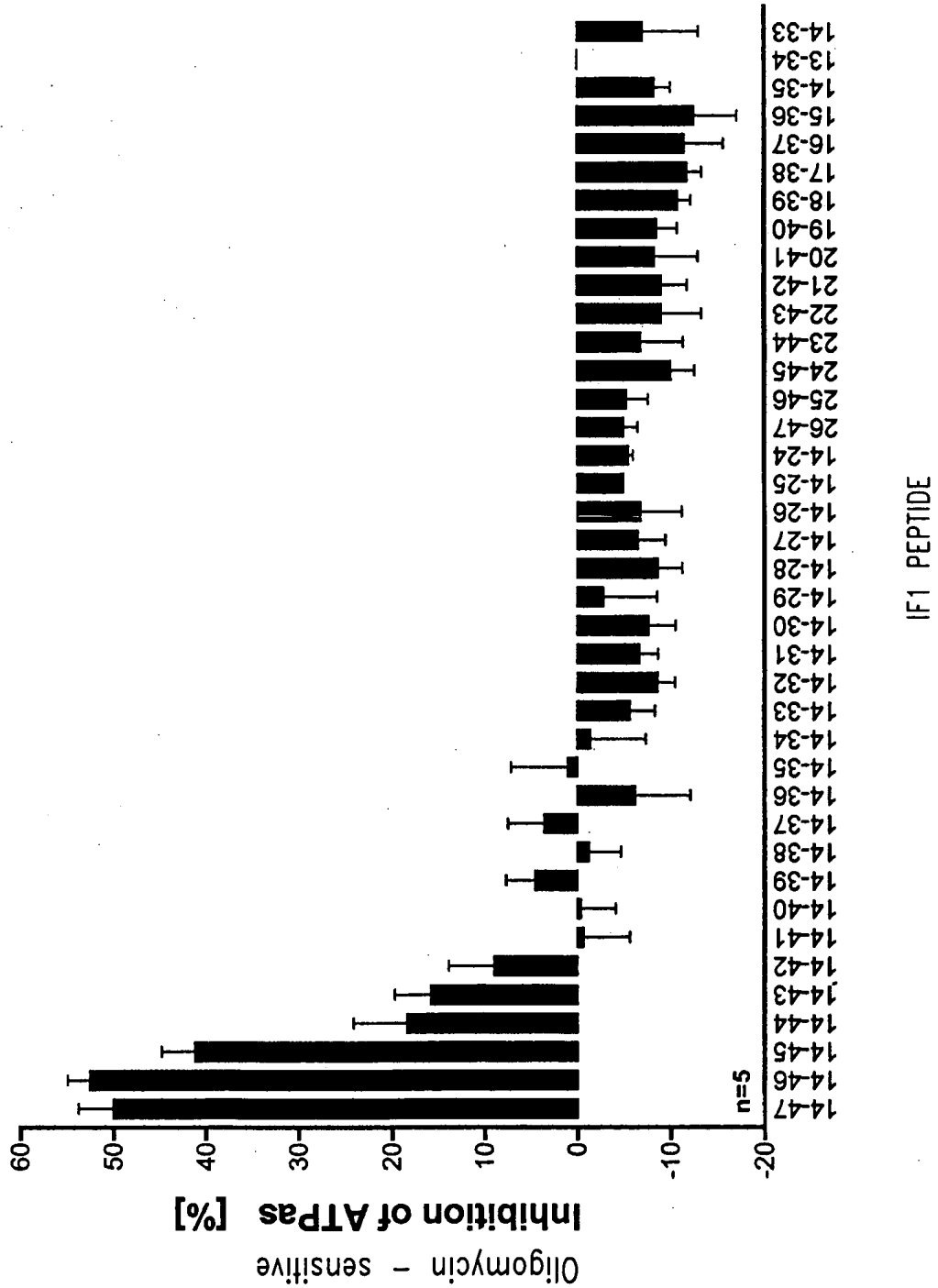


Fig. 11

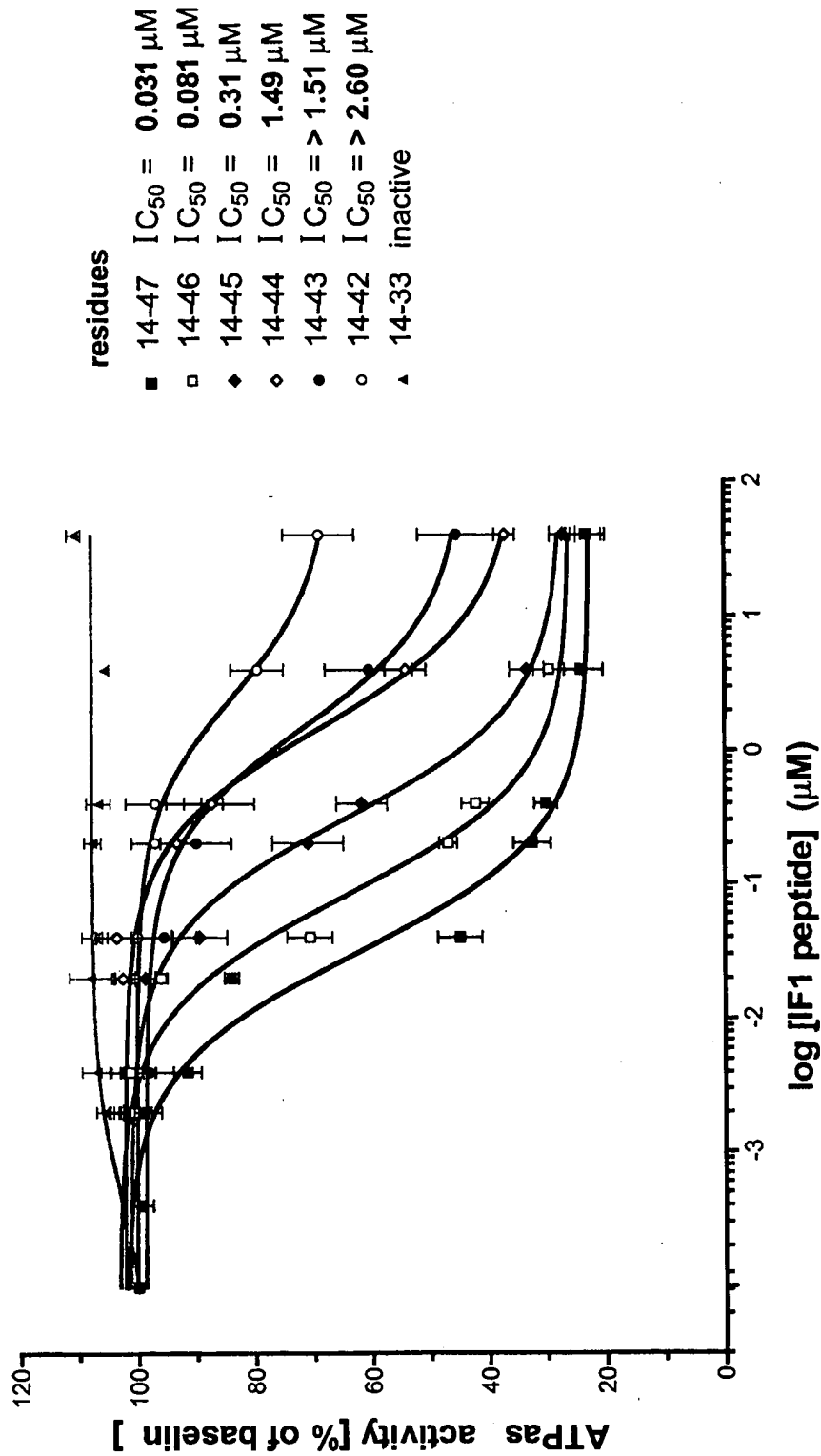


Fig. 12

Effect of tat.mito.14-47 on
Insulin Secretion in INS-1 Cells

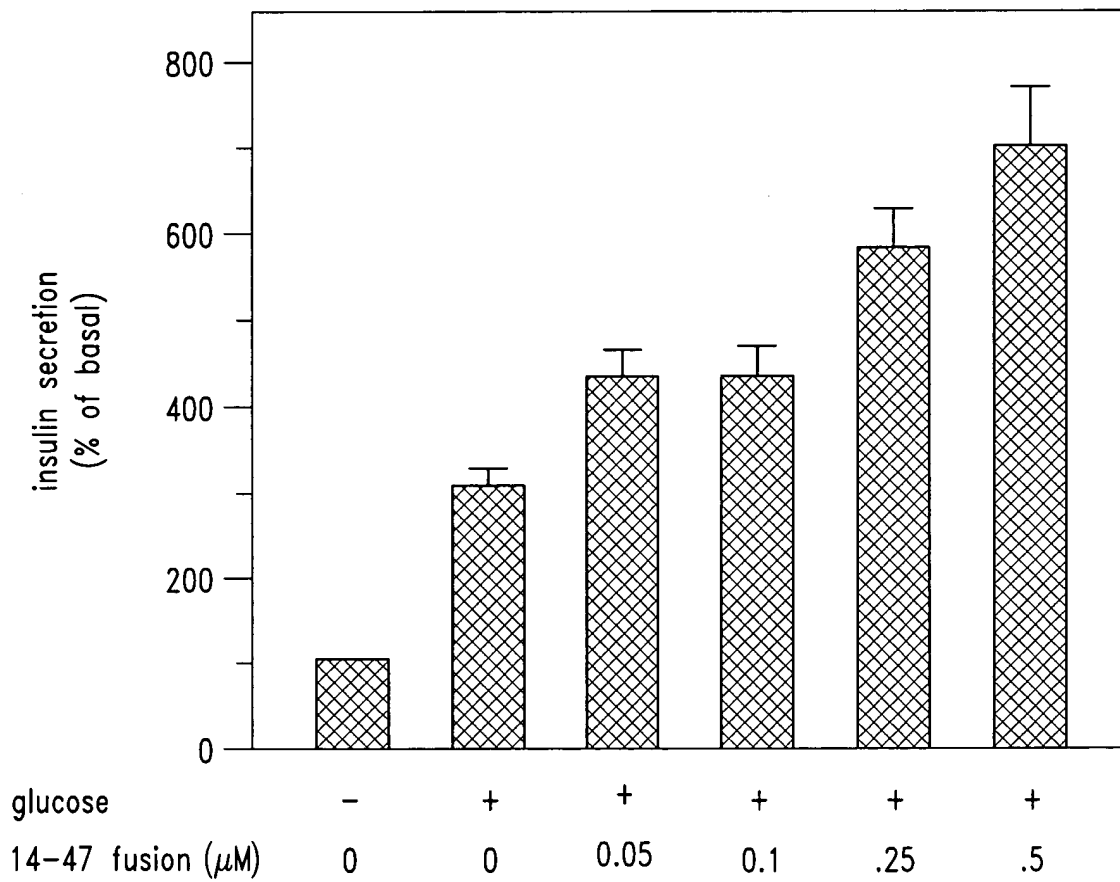


Fig. 13